

การพัฒนาต้นแบบฉลากแบบฉลาด เพื่อบอกรึงระดับความแข็งแรงของเมล็ดพันธุ์ข้าวที่เก็บรักษาภายใต้
สภาพการเจริญของแมลง

Development of Intelligent Label Prototype for Indicating Vigour of Stored Rice Seed Under Insect
Infestation

วีรวะทย์ อุทโท¹, เรवัติ ชัยราษ¹ และ อุไรวรรณ แสงหัวช้าง¹
Weerawate Utto¹, Raywat Chairat¹ and Uraiwan Saenhuachang¹

Abstract

A prototype of an intelligent label having capability to indicate vigorous of stored rice seeds under insect infestation was developed. The label was made of agar and paper containing indicator solution (methyl red 0.1 % (w/v), bromothymol blue 0.1 % (w/v) และ sodium bicarbonate 3 mmol/L) giving darkish green colour appearance. Under CO₂ atmosphere, label colour became changed within 5-10 minutes and was apparently stable thereafter. Levels of redness such as pinkish red or reddish orange significantly were dependent on concentration levels of CO₂. In contrast, extents of colour changes became limited when storage temperature was increased from 2 to 30°C. Given same temperature and CO₂ concentration, a^* values at the steady-state condition of both agar- and paper-based labels were comparable. The label illustrated its colour changed in responses to CO₂ changes in headspace of package containing rice seeds infested by insects tested including *Rhyzopertha dominica*, *Sitophilus oryzae*, and *Tribolium castaneum*. There were clear correlations between changes of a^* values of labels and reductions in (i) germination percentage and (ii) total phenolic content of rice seeds infested by *R. Dominica* at day 30 of storage period (for example Pearson correlations for agar-based label as -0.56 and -0.51, respectively). However there were no clear correlations found when labels were tested with other insect types.

Keywords: Intelligent label, Vigorous of rice seed, Stored insect

บทคัดย่อ

ต้นแบบฉลากแบบฉลาด (intelligent label) เพื่อบอกรึงระดับความแข็งแรงของเมล็ดพันธุ์ข้าวภายใต้การเจริญของแมลงได้รับการพัฒนาขึ้น ในรูปแบบของฉลากวุ้นและฉลากกระดาษ ที่มีส่วนประกอบของสารละลาย indicator (methyl red 0.1 % (w/v), bromothymol blue 0.1 % (w/v) และ sodium bicarbonate 3 mmol/L) ซึ่งมีสีเขียวเข้ม เมื่อ indicator ของฉลากทำปฏิกิริยากับ CO₂ ผลผิดให้ฉลากเปลี่ยนจากสีเขียวเป็นสีชมพูแดง หรือส้มแดง ภายใน 5-10 นาที โดยลักษณะปรากฏของสีและค่า a^* ของฉลาก ขึ้นอยู่กับระดับความเข้มข้น CO₂ ในทางตรงกันข้ามการเปลี่ยนแปลงสีของฉลากเกิดขึ้นได้น้อยภายใต้อุณหภูมิที่สูง (30°C) เมื่อเปรียบเทียบกับอุณหภูมิต่ำ (2 และ 10°C) ทั้งนี้ค่า a^* ในสภาวะคงที่ (steady-state) ของฉลากวุ้นและกระดาษมีค่าใกล้เคียงกันภายใต้อุณหภูมิและความเข้มข้น CO₂ ที่เท่ากัน ต้นแบบฉลากสามารถเปลี่ยนแปลงสีเมื่อมีการเพิ่มขึ้นของความเข้มข้น CO₂ ในบรรยายศักดิ์สิทธิ์เมล็ดพันธุ์ข้าวขาวคงทน 105 ที่มีการเจริญของมอดข้าวเปลือก (*R. dominica*), มอดข้าวสาร (*S. oryzae*) และมอดแป้ง (*T. castaneum*) ในระหว่างการเก็บรักษา โดยการเปลี่ยนแปลงค่า a^* ของฉลาก ณ วันที่ 30 ของการเก็บรักษา สามารถสืบได้อย่างชัดเจน ถึงการลดลงของทั้งระดับการออกและค่าฟินอลิคทั้งหมดของเมล็ดพันธุ์ข้าวที่มีการเจริญของมอดข้าวเปลือก (เช่น ค่าสัมประสิทธิ์ Pearson correlation สำหรับฉลากวุ้น เท่ากับ -0.56 และ -0.51 ตามลำดับ) อย่างไรก็ตามพบว่าความสัมพันธ์เหล่านี้ไม่มีความชัดเจน เมื่อทดสอบฉลากกับมอดชนิดอื่น

คำสำคัญ: ฉลากแบบฉลาด ความสมบูรณ์เมล็ดพันธุ์ข้าว แมลงในโรงเก็บ

¹ คณะเกษตรศาสตร์ มหาวิทยาลัยอุบลราชธานี, อำเภอ วาริชาราบ จังหวัดอุบลราชธานี 34190 และ ศูนย์นวัตกรรมเทคโนโลยีหลังการเก็บเกี่ยว สำนักงานคณะกรรมการอุดมศึกษา กม. 10400

¹ Faculty of Agriculture, Ubon Ratchathani University, Warin Chamrab district, Ubon Ratchathani province, Thailand 34190 and Postharvest Technology Innovation Centre, Office of the Higher Education Commission, Bangkok, Thailand 10400

คำนำ

ปัจจุบันมีการพัฒนาฉลากแบบฉลาด (intelligent label; IL) ที่สามารถเปลี่ยนแปลงสี ภายใต้กําช CO₂ ความเข้มข้นต่างๆ ซึ่งการเพิ่มขึ้นของความเข้มข้น CO₂ ในบรรจุภัณฑ์มักใช้เป็นตัวนิการเจริญของเชื้อจุลทรรศ์และการเสื่อมเสียของอาหารสด ทั้งนี้การเปลี่ยนสีของฉลากเกิดจากการทำปฏิกิริยาระหว่าง CO₂ และ indicator ที่อยู่ในฉลาก เช่น สารละลายที่มีองค์ประกอบของ methyl red และ bromothymol blue (Smolander, 2003) เมื่อพิจารณาระบบการบรรจุเมล็ดพันธุ์ข้าวพบว่าการเจริญของเมล็ดพันธุ์ลดลง (Adhikarinayake et al., 2006) ดังนั้นหากมีการพัฒนาฉลาก IL ที่สามารถแสดงการเปลี่ยนแปลงสี เนื่องจากการเพิ่มขึ้นของ CO₂ ในบรรจุภัณฑ์เมล็ดพันธุ์ข้าวและสีของฉลาก IL สามารถแสดงระดับความเข้มแข็งของเมล็ดพันธุ์ข้าว จะเป็นแนวทางสำคัญหนึ่งเพื่อการควบคุมคุณภาพของเมล็ดพันธุ์และช่วยให้เกษตรกรมีความมั่นใจในเมล็ดพันธุ์ข้าว การวิจัยนี้จึงมีวัตถุประสงค์เพื่อพัฒนาต้นแบบฉลาก IL ดังกล่าว และศึกษาผลไก่การเปลี่ยนสีของฉลาก ความสัมพันธ์ระหว่างการเปลี่ยนสีของฉลากและระดับการออกและค่าฟินอลิกทั้งหมด (total phenolic content; TPC) ของเมล็ดพันธุ์ข้าวซึ่งสารประกอบฟินอลิกสามารถช่วยในการเจริญของเชื้อจุลทรรศ์และการทำลายของเมล็ด (วันชัย, 2537)

อุปกรณ์และวิธีการ

1. เมล็ดพันธุ์ข้าวและเมล็ด

เมล็ดพันธุ์ข้าวขาวคาดอุบล 105 ฤดูกาล 2554-2555 ซื้อจากผู้จำหน่ายเมล็ดพันธุ์ ใน จ. อุบลราชธานี เมล็ดที่ใช้ในการศึกษา คือ (1) มอดข้าวเปลือก (*Rhyzopertha dominica* (Fabricius)), (2) มอดข้าวสาล (Sitophilus oryzae (Linnaeus)), และ (3) มอดแป้ง (*Tribolium castaneum* (Herbst)) ที่มีการเพาะและขยายพันธุ์ตามวิธีของ Jilani et al. (1989)

2. การพัฒนาต้นแบบฉลาก IL

ต้นแบบฉลาก IL มีทั้งในรูปแบบแผ่นวัสดุและกระดาษ ซึ่งสารละลายอินดิเคเตอร์ ของฉลากประกอบด้วย (1) methyl red 0.1 % (w/v) (ตัวทำละลาย คือ ethanol 50% v/v), (2) bromothymol blue 0.1 % (w/v) (ตัวทำละลาย คือ ethanol 50% v/v), และ (3) sodium bicarbonate 3 mmol/L (ตัวทำละลาย คือ น้ำก๊ลั่น) ฉลากวัสดุเตรียมโดยผสม methyl red 3 ml กับ bromothymol blue 2 ml และกวนให้เข้ากัน จากนั้นเติม sodium bicarbonate 5 ml (ส่งผลให้สารละลายมีสีเขียว) เทสารละลายอินดิเคเตอร์ ลงในวัสดุกระดาษ (95°C) พร้อมคนให้เข้ากัน และนำไปเทลงในจานแก้ว ขนาดเส้นผ่านศูนย์กลาง 5.7 cm ด้วยปริมาตร 5 ml ทิ้งไว้ 18 ชั่วโมง ในห้องมีอุณหภูมิห้อง (30°C) ทำการตัดแผ่นวัสดุเป็นฉลากขนาด 1.5 × 1.5 cm (ความหนาของแผ่นฉลากวัสดุ เท่ากับ 10μm) ฉลากกระดาษเตรียมโดยหยดสารละลาย indicator ที่เตรียมตามวิธีข้างต้น ปริมาตร 0.5 ml ลงบนกระดาษกรองเบอร์ 1 ขนาด 1.5 × 1.5 cm แล้วปล่อยให้แห้งภายใต้สภาวะเดี่ยวกันกับฉลากวัสดุ

3. การเปลี่ยนสีของฉลากภายใต้อุณหภูมิและกําช CO₂ ความเข้มข้นต่างๆ

การเปลี่ยนสีของฉลากภายใต้อุณหภูมิต่างๆ ทดสอบในถุงพลาสติก Nylon/PE (ฟิล์ม high O₂ และ CO₂ barrier) ขนาด 20 × 20 cm โดยนำฉลากจำนวน 3 แผ่น (1 ถุง ต่อ 1 ชนิดของฉลาก IL) มาติดบนผังด้านในของถุงพลาสติกด้วยเทปใส จากนั้นใส่จานแก้วในถุงเพื่อแยกผังทั้งสองด้านของถุงและช่วยในการผสมของกําช (gas mixing) ในบรรจุภัณฑ์ แล้วปิดผึงถุงด้วยความร้อนและฉีดกําช CO₂ ความเข้มข้น 5-7 % (v/v) ผ่านผังถุงด้วยเข็มฉีดยา และปิดรูที่ฉีดทันทีด้วยเทปอะลูมิเนียม นำบรรจุภัณฑ์ไปเก็บไว้ที่ 2, 10 และ 30°C ดำเนินการวัดการเปลี่ยนสีของฉลากภายใต้ CO₂ ความเข้มข้นต่างๆ ทำตามน้ำที่ 1 ในช่วงเวลา 1 ชั่วโมง ซึ่งเป็นการวัดสีผ่านฟิล์มด้วยเครื่อง Minolta Colorimeter CR300 ในหน่วย L, a*, b* ทั้งนี้สังเกตองค์ความคุณจะไม่มีการฉีดกําช CO₂ เข้าไปในถุง สำหรับการทดสอบการเปลี่ยนสีของฉลากภายใต้ CO₂ ความเข้มข้นต่างๆ ทำตามวิธีที่กล่าวข้างต้น แต่ได้ฉีด CO₂ ความเข้มข้น 3-4%, 5-7% และ 15-17% (v/v) เข้าไปในบรรจุภัณฑ์ และเก็บไว้ที่ 30°C

4. การเปลี่ยนสีของฉลากที่สัมพันธ์กับความเข้มแข็งของเมล็ดพันธุ์ภายใต้การเจริญของมอด

ระบบที่ใช้ในการทดสอบการเปลี่ยนสี คือ จานแก้ว (ทั้งฐานและฝาครอบ) ซึ่งเป็นการจำลองการบรรจุเมล็ดพันธุ์ข้าวโดยถุงกระสอบพลาสติกstan ที่สามารถผ่านเข้าออกถุงได้ ทำการบรรจุเมล็ดพันธุ์ข้าว 30 กรัม ที่มีจำนวนมอด 150 ตัว (ต่อมอดหนึ่งชนิด) ลงในจานด้านล่าง จากนั้นทำการครอบปิดด้วยฝาจาน (จานด้านบน) ที่ติดฉลากวัสดุและกระดาษ (อย่างละ 3 แผ่น) เก็บเป็นเวลา 2 เดือน ณ 30°C ในทุกวันที่ 30 วัดสีของฉลาก ระดับการออกของเมล็ดพันธุ์ และปริมาณฟินอลิกทั้งหมด

ประยุกต์จากการวีร์ชอง Kim et al. (2003) ทั้งนี้สิ่งทดลองควบคุมจะไม่มีแรงบันเมล็ดพันธุ์ข้าว การวิจัยนี้ทางแผนการทดลองแบบ completely randomized design และวิเคราะห์ความแปรปรวน (analysis of Variance, ANOVA) ความแตกต่างค่าเฉลี่ยด้วย Tukey's test ($p < 0.05$) และความสัมพันธ์ (correlation) โดยใช้ Minitab (version 14, Minitab Inc.)

ผลและวิจารณ์

1. การเปลี่ยนสีของฉลากภายใต้อุณหภูมิและกําช CO₂ ความเข้มข้นต่างๆ

ฉลากเกิดการเปลี่ยนสีจากสีเขียว เป็นสีส้มแดง หรือชมพูแดง ภายใน 5 นาที ซึ่งสอดคล้องกับค่า a^* ที่เพิ่มขึ้นอย่างต่อเนื่อง และมีแนวโน้มคงที่ ภายใน 10 นาที (Figure 1A and 1B) ในขณะที่ฉลากในสิ่งทดลองควบคุมไม่มีการเปลี่ยนสี การเพิ่มขึ้นและคงที่ของค่า a^* นี้อาจด้วยสมมติฐานว่าฉลากเกิดการอ่อนตัวกับ CO₂ ที่ถูกดูดซับโดยอินดิเคเตอร์ ทั้งนี้ลักษณะการอ่อนตัวของกรดดูดซับแบบดังกล่าวจัดเป็นกรดดูดซับแบบ Langmuir ที่สามารถในการดูดซับน้ำมีจุดจำกัด เนื่องจากสุดเกิดการอ่อนตัวกับสารที่ดูดซับและไม่เกิดการดูดซับแม้เพิ่มความเข้มข้นของสารที่ดูดซับ การดูดซับ Langmuir มักเกิดขึ้นในพิล์มหรือวัสดุที่สามารถเกิดปฏิกิริยาับสารที่ดูดซับ เช่น การดูดซับไออกไซเจนหรือพิล์มพลาสติก (Robertson, 1993)

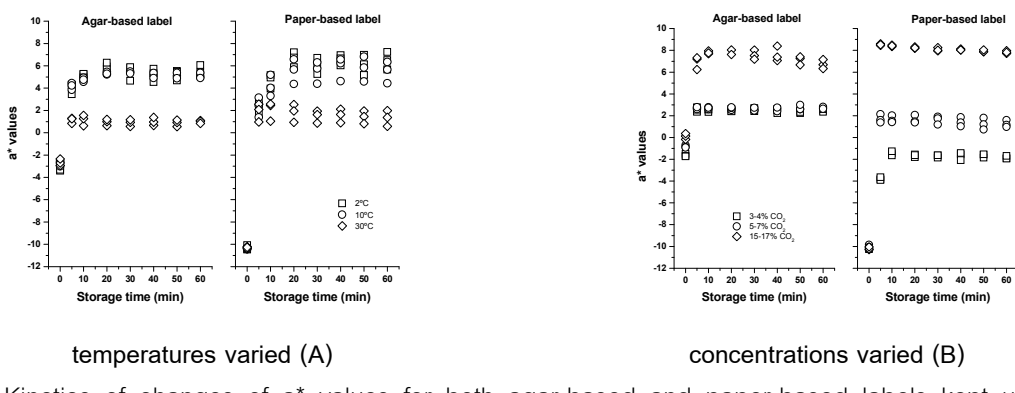


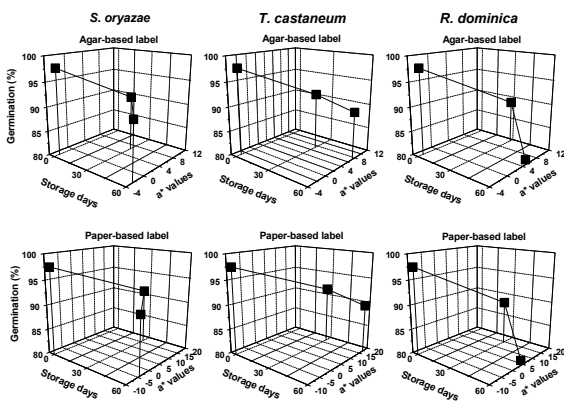
Figure 1 Kinetics of changes of a^* values for both agar-based and paper-based labels kept under 2, 10 and 30°C (A) and varied CO₂ concentrations: 3-4%, 5-7% and 15-17% CO₂ (v/v) kept at 30°C (B)

ค่า a^* ของฉลากทั้งสองประเภท ณ 2 และ 10°C มีค่าใกล้เคียงกัน แต่มีค่าสูงกว่า ณ 30°C (Figure 1A) การเปลี่ยนสีในลักษณะดังกล่าว อาจมีสาเหตุสำคัญจากการดูดซับกําช CO₂ โดยอินดิเคเตอร์บนฉลาก เกิดขึ้นได้น้อยลงเมื่ออุณหภูมิสูงขึ้น (Carroll et al., 1991) ซึ่งเป็นลักษณะของปฏิกิริยาการหายใจความร้อน ดังนั้นการดูดซับ CO₂ จึงเกิดขึ้นได้มากกว่า ณ อุณหภูมิต่ำ ส่งผลให้เกิดการเปลี่ยนสีที่ชัดเจenkกว่า การเปลี่ยนสีและค่า a^* ของฉลากภายใต้ความเข้มข้นกําช CO₂ ที่มีความเข้มข้นต่างๆ (Figure 1B) มีลักษณะคล้ายกับการเปลี่ยนแปลงภายใต้อุณหภูมิต่างๆ และไม่มีการเปลี่ยนสีในสิ่งทดลองควบคุม การเปลี่ยนสีเกิดขึ้นได้ชัดเจน เมื่อระดับความเข้มข้นของ CO₂ เพิ่มขึ้น (Figure 1B) เนื่องจากการเปลี่ยนสีของฉลากเกิดจากการดูดซับ CO₂ และเกิดการละลาย เข้าไปยังชั้นวัสดุที่มีคุณสมบัติ hydrophilic (เช่น ฉลากวัสดุและกระดาษ) และสร้างกรดคาร์บอนิกขึ้น ซึ่งกรดคาร์บอนิกและอนุพันธุ์ เช่น ไฮดรอเนียมอิโอน (H_3O^+) ทำปฏิกิริยากับเปลสในอินดิเคเตอร์ ทำให้สารละลายเป็นกรด (HIn) สงผลให้เกิดการเปลี่ยนสีของฉลาก (Mook and de Vries, 2000; Sabnis, 2008) ทั้งนี้ ค่า a^* ที่ส่วนใหญ่ที่ของฉลากวัสดุและฉลากกระดาษมีค่าใกล้เคียงกัน ณ อุณหภูมิและความเข้มข้น CO₂ ที่เท่ากัน (Figure 1A and 1B) และทำให้ทราบว่า ปฏิกิริยาระหว่าง CO₂ และ อินดิเคเตอร์ เป็นกลไกสำคัญของการเปลี่ยนสี โดยวัสดุที่ใช้ทำฉลากไม่มีอิทธิพลต่อกลไกดังกล่าว

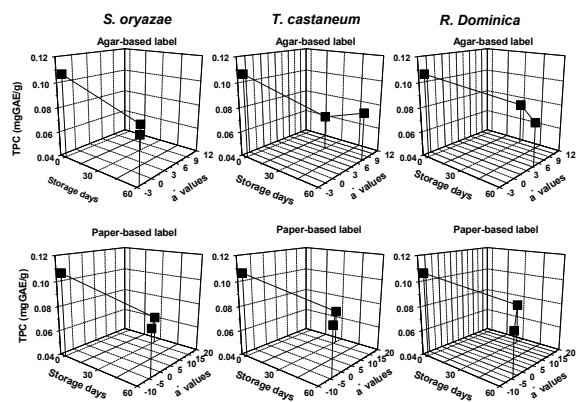
2 การเปลี่ยนสีของฉลากที่สัมพันธ์กับความแข็งแรงของเมล็ดพันธุ์ข้าวภายใต้การเจริญของมอด

การเปลี่ยนสีและค่า a^* ของฉลากเกิดขึ้นอย่างชัดเจนเมื่อมีมอด โดยเปลี่ยนจากสีเขียวเข้มเป็นสีชมพูแดง หรือส้มแดง ในช่วง 30 วันแรก (Figure 2A) และไม่มีการเปลี่ยนสีในระบบควบคุม แต่ค่า a^* ณ วันที่ 60 ในทุกระบบท่มีลดลง หรือมีสีเขียวเพิ่มมากขึ้นโดยเฉพาะระบบที่มีมอดข้าวสาร เนื่องจากการตายของมอดทำให้ CO₂ ลดลง ซึ่งแสดงให้ทราบว่าความมีการพัฒนาฉลากต่อไปเพื่อให้สีของฉลากคงที่แม่万一ความเข้มข้น CO₂ ลดลง การเจริญของมอดทำให้การออกฤทธิ์ค่า a^* ณ วันที่ 30 ของฉลากในระบบที่มีมอดข้าวเปลือกมีความสัมพันธ์กับระดับการออกฤทธิ์ โดยค่า Pearson correlation (r) ของฉลากวัสดุและกระดาษเท่ากับ -0.56 และ -0.13 ตามลำดับ แสดงว่าการออกฤทธิ์ของฉลากเป็นสีแดง แต่ค่า r ของระบบที่มีมอดอื่นๆ ไม่มีความชัดเจน โดยค่า r ของระบบที่มีมอดข้าวสารและมอดแป้งเท่ากับ 0.03 และ 0.45 ตามลำดับ ซึ่งอาจเกิดจากความแปรปรวนของค่า a^* ของฉลาก จากการตายของมอด หรือ การออกฤทธิ์อาจได้รับผลกระทบจากมอดทั้งสองที่น้อยกว่ามอดข้าวเปลือก

ค่าฟินอลิกลดลงเมื่อมีการเจริญของมด (Figure 2B) ซึ่งค่าฟินอลิกทั้งหมด ณ วันที่ 30 มีความสัมพันธ์แบบผกผันกับค่า a^* ของฉลากวุ้นและกระดาษ โดยมีค่า r เท่ากับ -0.51 และ -0.56 ตามลำดับ ซึ่งข้อมูลดังกล่าวสนับสนุนความสัมพันธ์ระหว่างค่า a^* ของฉลากกับการออกของระบบเมดข้าวเปลือกที่รายงานข้างต้น ส่วนค่า r ในระบบที่มีเมดประแทรกอื่นๆ ไม่มีความชัดเจน



germination (A)



total phenolic content (TPC) (B)

Figure 2 Relationships of germination (%) (A) and total phenolic content (TPC) (B) with a^* values of label ($n=6$) and storage days kept at 30°C

สรุป

กลไกการเปลี่ยนสีของฉลากตันแบบหั้งฉลากวุ้นและกระดาษขึ้นอยู่กับอุณหภูมิและความเข้มข้น CO_2 แม้ว่าฉลากสามารถเปลี่ยนสีได้เมื่อมีเมดเจริญบนข้าว แต่ความสัมพันธ์ที่ชัดเจนระหว่างการเปลี่ยนสีและการออกและ/หรือฟินอลิกทั้งหมดพบในระบบที่มีเมดข้าวเปลือกเท่านั้น ซึ่งผู้วิจัยจะดำเนินการพัฒนาต่อไปเพื่อให้เห็นความชัดเจนในระบบอื่นๆ และการคงตัวของสีของฉลาก เมื่อระดับความเข้มข้นก๊าซ CO_2 ลดลงเนื่องจากการตายของแมลง

กิตติกรรมประกาศ

งานวิจัยนี้ได้รับการสนับสนุนจากศูนย์นวัตกรรมเทคโนโลยีหลังการเก็บเกี่ยว สำนักงานคณะกรรมการการอุดมศึกษา กทม. 10400

เอกสารอ้างอิง

- วันนี้ จันทร์ประเสริฐ. 2537. สรุรวิทยาเคมีดพนธุ์. มหาวิทยาลัยเกษตรศาสตร์, กรุงเทพ. 213 น.
- Adhikarinayake, T. B., K. B. Palipane and J. Muller. 2006. Quality change and mass loss of paddy during airtight storage in a ferrocement bin in Sri Lanka. Journal of Stored Products Research 42(3): 377-390.
- Carroll, J. J., J. D. Slupsky and A. E. Mather. 1991. The solubility of carbon dioxide in water at low pressure. Journal of Physical and Chemical Reference Data 20(6): 1201-1209.
- Jilani, G., R. C. Saxena and A. A. Khan. 1989. Ethylene production as an indicator of germination and vigor loss in stored rice seed infested by *Rhyzopertha dominica* (F.) (Coleoptera: Bostrichidae). Journal of Stored Products Research 25(3): 175-178.
- Kim, D. O., S. W. Jeong and C. Y. Lee. 2003. Antioxidant capacity of phenolic phytochemicals from various cultivars of plums. Food Chemistry 81(3): 321-326.
- Mook, W.G. and J.J. de Vries. 2000. Environmental Isotopes in the Hydrological Cycle: Principles and Applications, Vol. I: Introduction, Theory, Methods, Review, Vienna, Austria: UNESCO/IAEA.
- Robertson, G. L. 1993. Permeability of thermoplastic polymers. pp. 73-110. In: Food Packaging: Principles and Practice. New York, Marcel Dekker.
- Smolander, M. 2003. The use of freshness indicators in packaging. pp. 127-143. In: R. Ahvenainen (ed.). Novel FoodPackaging Techniques. Cambridge, Woodhead Publishing Limited.
- Sabnis, R. W. 2008. Handbook of Acid-Ba Handbook of Acid–Base Indicators se Indicators. Boca Raton, FL: CRC Press. 389p.